



کانی‌شناسی و زمین‌شناسی اقتصادی کانسار پلی‌متال چشم‌های حافظه، استان سمنان، ایران

بهزاد مهرابی^۱، مجید قاسمی سیانی

گروه زمین‌شناسی، دانشکده علوم، دانشگاه تربیت معلم تهران

دریافت مقاله: ۱۳۸۸/۱۱/۲۰، نسخه نهایی: ۱۳۸۹/۰۲/۱۳

چکیده

کانسار پلی‌متال چشم‌های حافظه در بخشی از کمرین آتشفشاری ترود- چاه شیرین در جنوب شرق دامغان واقع شده است. در این ناحیه ولکانیسم‌های کالک آلکان و کانی‌زایی‌های همراه عمده‌ای در ارتباط با گسلهای اصلی انجیلو و ترود (شمال شرقی- جنوب غربی) است. سنگهای دارای رخنمون در ناحیه مورد مطالعه از توالی آتشفشاری- تخریبی نظریه ماسه سنگ، توفها و برش‌های آتشفشاری و به طور عمده گدازه‌های آندزیتی و آندزیت بازالت در منطقه چشم‌های حافظه تشکیل شده است. دگرسانیها در منطقه چشم‌های حافظه شامل پروپلیتیک، سرسیتی شدن، آرژیلیتی شدن و سیلیسی شدن است. کانی‌سازی در منطقه معدنی در سه مرحله شامل: مرحله اول) کوارتز، کلسیت با مقدار کمی پیریت و کالکوپیریت؛ مرحله دوم) مرحله اصلی کانی‌سازی سولفیدی است که شامل گالن خودشکل اولیه، سپس گالن، اسفالریت و کالکوپیریت و در نهایت گالن، کالکوپیریت، پیریت، تراهدریت، بورنیت و دیزیت و مرحله سوم) شامل رگه‌های کوارتز و کربنات فاقد آثار کانی‌سازی همراه با مقدار کم پیریت و کالکوپیریت است. با توجه به نتایج تجزیه شیمیایی ۱۲ نمونه معرف از بخش‌های مختلف رگه‌ها، عیار میانگین عناصر به ترتیب عبارتند از ۱۵/۰٪ گرم در تن (ppm) طلا، ۳/۲۳ گرم در تن (ppm) نقره، ۴/۴۷ درصد وزنی سرب، ۱/۷۳ درصد وزنی روی، ۲/۶۴ درصد وزنی مس است. بر اساس مطالعات سیالات درگیر میانگین دمای همگن شدن و شوری در منطقه چشم‌های حافظه به ترتیب C° ۱۴۰-۳۰۰ و ۴/۷ تا ۱۸ درصد وزنی معادل نمک طعام است. نمودار دمای همگن شدنگی و شوری سیال نشان می‌دهد که کانی‌سازی در منطقه چشم‌های حافظه بر اثر تزریق متناوب سیال با شوری بالا و اختلاط با سیال با شوری کمتر و رقیق شدنگی آن تشکیل شده است. به منظور ارزیابی وضعیت کانی‌سازی در عمق از روش ژئوفیزیکی قطبش القایی و مقاومت سنجی استفاده شده است. نتایج ژئوفیزیک کانی‌سازی را در شمال غرب معدن (گردنه توتو) تایید می‌کند.

واژه‌های کلیدی: چشم‌های حافظه، دگرسانی، سیالات درگیر، ژئوفیزیک، ژئوشیمی، ژئوفیزیکی، ژئوشیمی‌ای، اپی‌ترمال.

مقدمه

نوع کانسار سرب و روی تیپ دره می‌سی‌سی‌پی است. مطالعات این مقاله بر روی کانسار چشم‌های حافظه در فاصله ۴۰۰ کیلو متری شرق تهران با مختصات "۴۰°۳۴'۵۴" طول شرقی و "۳۵°۲۴'۳۵" عرض شمالی در ۲۵ کیلومتری شمال شرق روستای معلمان مرکز است. زمین‌شناسی، کانی‌شناسی، دگرسانی، ژئوشیمی، ژئوفیزیک، سیالات درگیر در کانسار چشم‌های حافظه مورد مطالعه قرار گرفته است. در این مطالعه

رشته کوههای ترود- چاه شیرین در بخشی از کمان آتشفشاری کلسیمی- قلیایی ترشیری در زون ساختاری سبزوار [۱,۲] واقع است. این ناحیه میزبان تعداد زیادی رخداد معدنی و معادن متروک، به ویژه رگه‌های فلزات پایه احتمالاً با منشاء اپی‌ترمال است [۳]. از بین این رخدادها می‌توان به کانسار گندی (Pb-Zn)، ابوالحسنی (Pb-Zn)، چشم‌های حافظه (Pb-Zn)، چاه موسی (Cu) و دارستان (Au-Cu) اشاره کرد (شکل ۱). همچنین کانسار خانجار در غرب منطقه که از

در قسمت مرکزی و شرقی کمریند ماقمایی البرز واقع است (شکل ۱الف). قسمت غربی این کمریند به کمریند ماقمایی ارومیه - دختر متصل است که روندی موازی با زون زاگرس دارد (شکل ۱الف). رشته کوه ترود- چاه شیرین به طور عمده از سنگهای آذرین مزوژوئیک پسین تا ترشیری تشکیل شده است. اوج فعالیت ماقمایی از زمان ائوسن میانی تا پسین [۵] بوده است. واحدهای زمین‌شناسی منطقه شامل ۱) توف، خاکسترها ریولیتی و به میان لایه‌های مارن و ماسه‌سنگ، ۲) گذاره و سنگهای آذر آواری با ترکیب آندزیتی و آندزیت- بازالتی، ۳) سنگهایی با ترکیب داسیتی و ریوداسیتی و توده‌های نفوذی نیمه ژرف است (شکل ۲). الگوی ساختاری این ناحیه توسط دو گسل امتداد لغز اصلی انجلیو در شمال و ترود در جنوب (امتداد شمال شرقی) کنترل می‌شود.

زمین‌شناسی کانسار

واحدهای زمین‌شناسی و پتروژئن کانسار

واحدهای دارای رخنمون در محدوده معدنی شامل ماسه سنگهای نازک لایه و توف‌های ماسه‌ای با سن ائوسن میانی و سنگهای بازالت، آندزیت، آندزیت- بازالت و تراکی آندزیت با سن ائوسن پسین است که این واحدها توسط گنبدهای داسیتی تا ریوداسیتی به سن الیگوسن قطع شده است (شکل ۳).

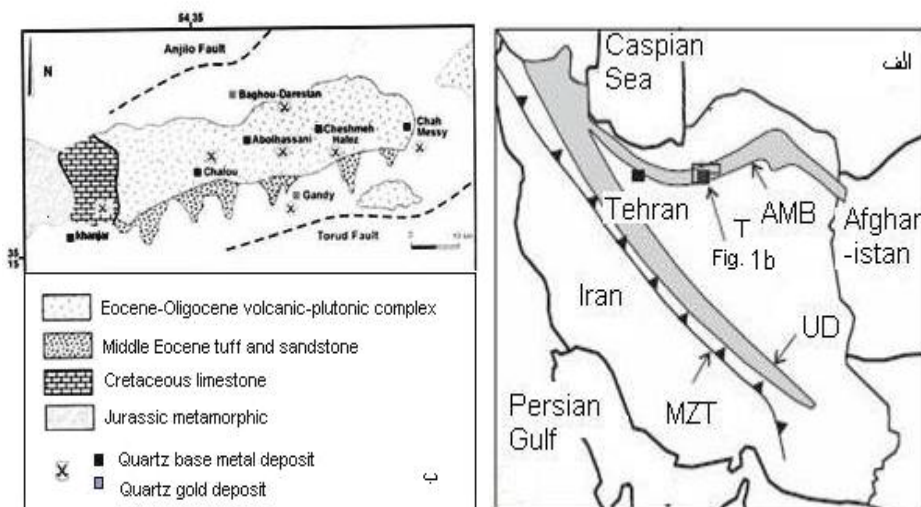
مدل کانی‌زایی کانسار چشمی حافظ تعیین شده که می‌توان از آن برای پی‌جويی و اکتشاف ذخایر مشابه در منطقه استفاده کرد.

نمونه‌برداری و روش مطالعه

به منظور برنامه اکتشافی در کانسار چشمی حافظ، تعداد ۲۸۰ نمونه از رگه‌ها و سنگهای دارای رخنمون در منطقه و تعداد ۱۵۰ نمونه از حفاریهای انجام شده برای مطالعات ژئوشیمیایی و کانی‌شناسی برداشت شد. به منظور تجزیه عناصر اصلی و فرعی تعداد ۱۴ نمونه به روش ICP-MS در آزمایشگاه Acme کانادا، مورد تجزیه قرار گرفت. همچنین تعداد ۹۶ مقطع صیقلی و نازک صیقلی برای تعیین توالی پاراژنزی و دگرانی از نمونه‌ها تهیه شد. تعدادی نمونه نیز به روشهای AAS، XRF، XRD، SEM مورد مطالعه قرار گرفت. به منظور مطالعات سیالات درگیر تعداد ۱۰ نمونه دو بر صیقل با جهت برش مناسب از کوارتز تهیه و در دانشگاه تربیت معلم مطالعه شد که نتایج این مطالعات در ادامه شرح داده شده است.

زمین‌شناسی ناحیه‌ای

کمریند ماقمایی البرز در شمال ایران با جهت شرقی - غربی به سه قسمت قابل تقسیم است [۴]. رشته کوه ترود - چاه شیرین به صورت یک برآمدگی بین گسل‌های ترود و انجلیو



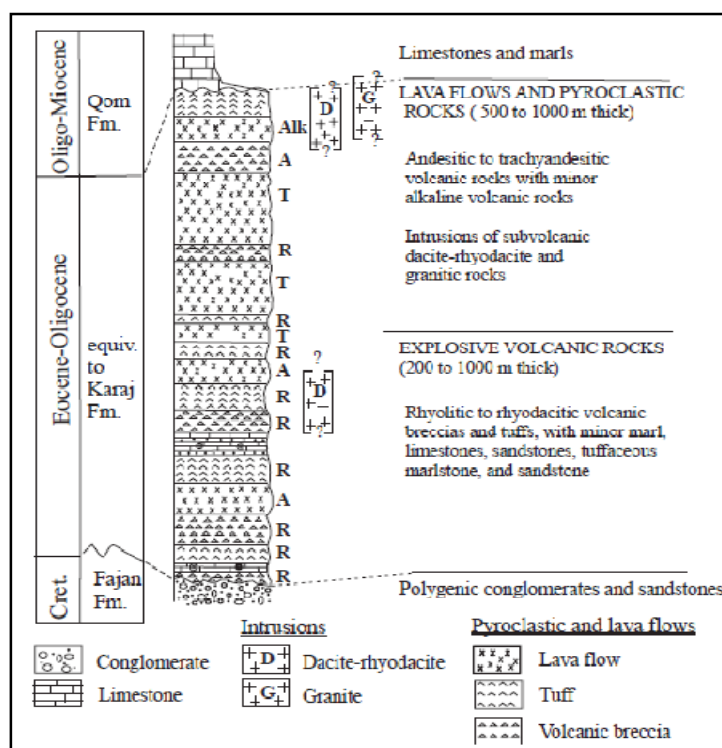
شکل ۱. الف. موقعیت زون ترود- چاه شیرین (T) در کمریند ماقمایی البرز (AMB). کمریند ارومیه دختر (UD) به موازات زون زاگرس (MZT) کشیده شده است. ب. موقعیت رخدادهای معدنی در زون ترود - چاه شیرین.

سنگهای آندزیت، آندزیت- بازالت و تراکی - آندزیت میزبان اصلی کانی‌سازی در منطقه هستند. به منظور شناخت ویژگیهای ژئوشیمیایی و پترولوژیکی سنگهای آذرین منطقه معدنی چشمۀ حافظه تعداد ۲۰ نمونه از سنگهای رخمنون XRF یافته منطقه معدنی برای تجزیه عناصر اصلی به روش XRF در آزمایشگاه دانشگاه تربیت معلم تهران مورد تجزیه قرار گرفت. همچنین تعداد ۱۴ نمونه از سنگهای رخمنون یافته منطقه معدنی جهت تجزیه عناصر کمیاب به روش ICP-MS در آزمایشگاه Acme کانادا مورد تجزیه قرار گرفت که نتایج آن در جدول ۱ ارائه شده است.

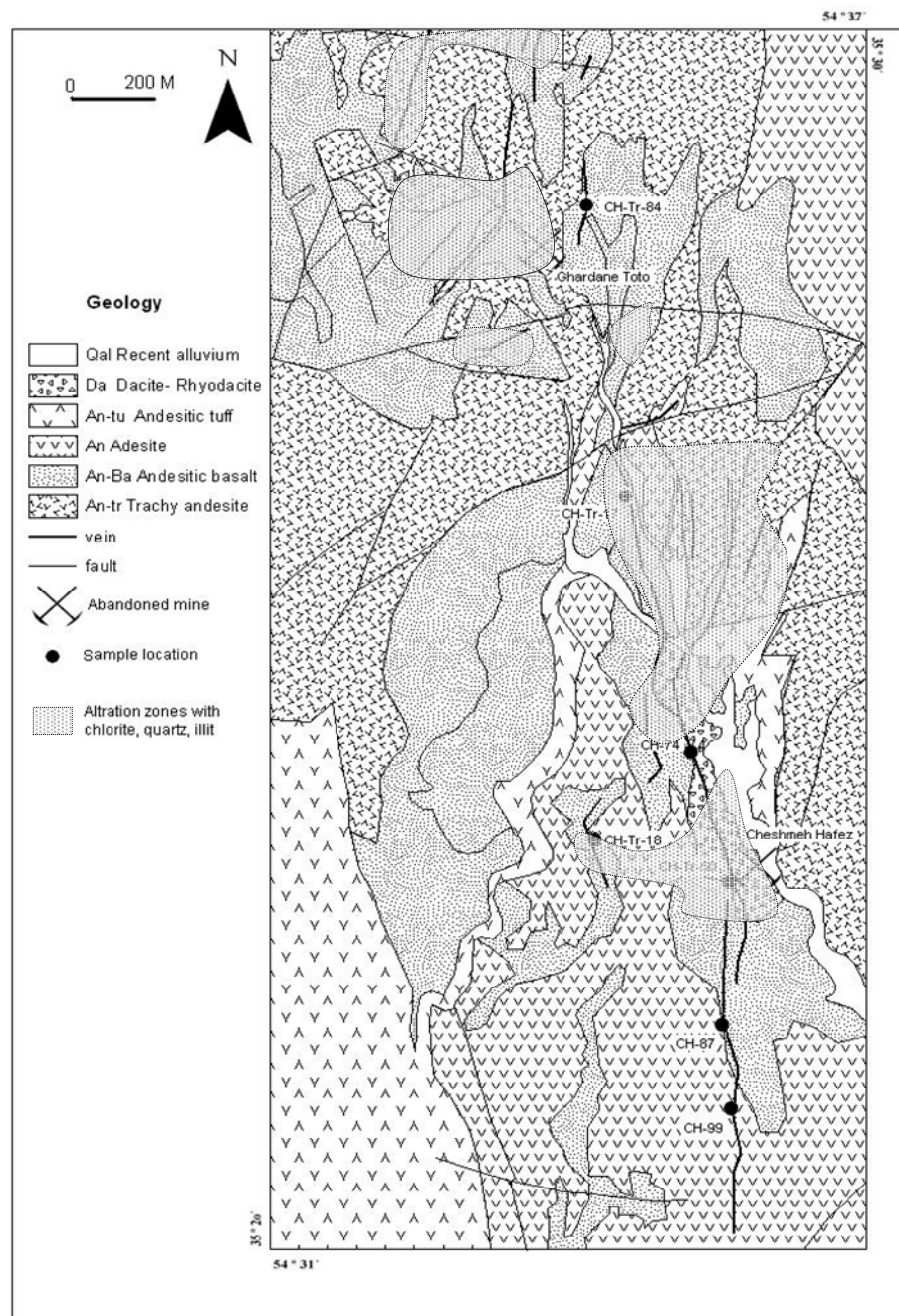
براساس نمودار K_2O در برابر SiO_2 [۶]، سنگهای آتشفسانی منطقه چشمۀ حافظه از نوع کلسیمی- قلیایی (کالک الکالن) غنی از پتاسیم است (شکل ۴الف). براساس نمودار

سنگهای آندزیت، آندزیت- بازالت و تراکی - آندزیت میزبان اصلی کانی‌سازی در منطقه هستند. به منظور شناخت ویژگیهای ژئوشیمیایی و پترولوژیکی سنگهای آذرین منطقه معدنی چشمۀ حافظه تعداد ۲۰ نمونه از سنگهای رخمنون XRF یافته منطقه معدنی برای تجزیه عناصر اصلی به روش XRF در آزمایشگاه دانشگاه تربیت معلم تهران مورد تجزیه قرار گرفت. همچنین تعداد ۱۴ نمونه از سنگهای رخمنون یافته منطقه معدنی جهت تجزیه عناصر کمیاب به روش ICP-MS در آزمایشگاه Acme کانادا مورد تجزیه قرار گرفت که نتایج آن در جدول ۱ ارائه شده است.

براساس نمودار K_2O در برابر SiO_2 [۶]، سنگهای آتشفسانی منطقه چشمۀ حافظه از نوع کلسیمی- قلیایی (کالک الکالن) غنی از پتاسیم است (شکل ۴الف). براساس نمودار



شکل ۲. توالی چینه‌شناسی در زون ترود- چاه شیرین [۵].



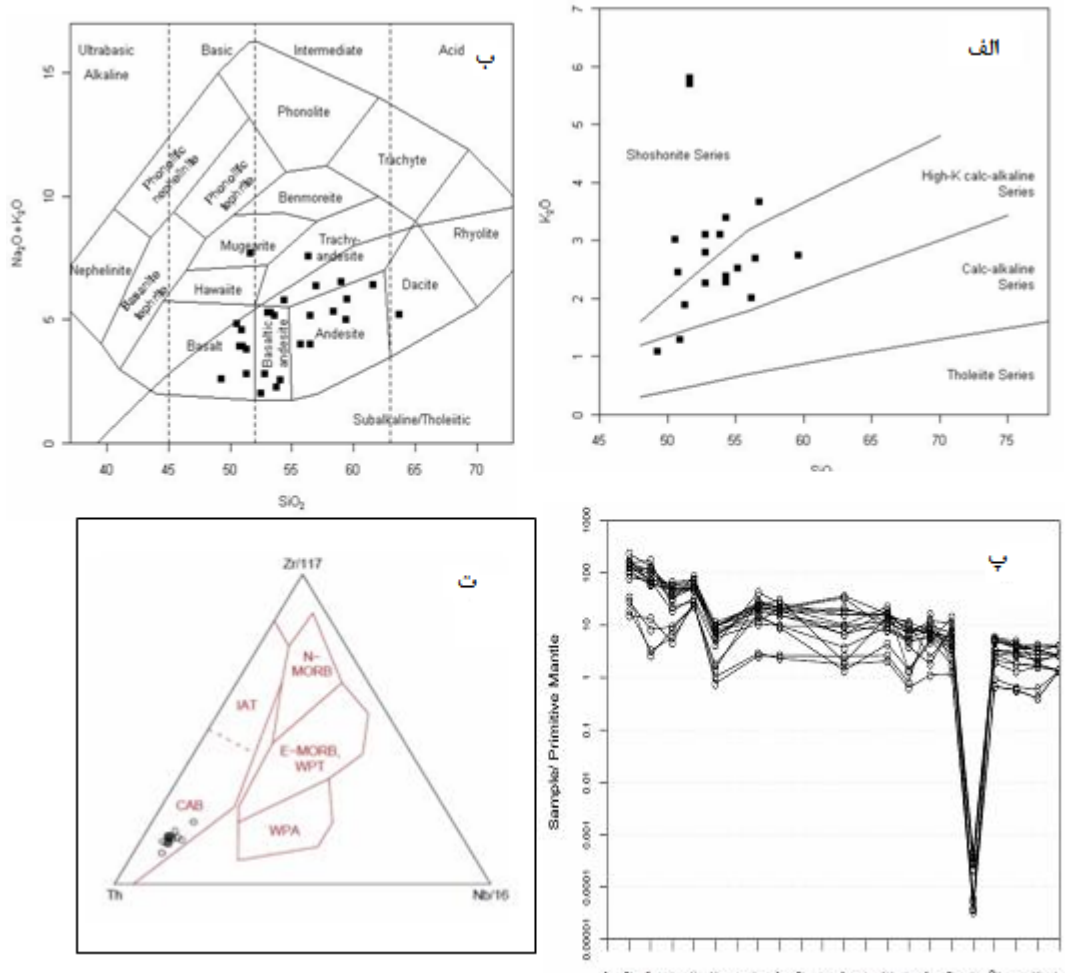
شکل ۳. نقشه زمین‌شناسی کانسوار چشمه حافظ.

جدول ۱. نمونه‌های تجزیه شده از سنگهای دارای رخنمون در منطقه معدنی (اکسیدهای اصلی به روش XRF در دانشگاه تربیت معلم و عناصر فرعی به روش ICP-MS در ACME Lab کانادا).

sample	87 CH-1 andesite	87 CH-2 basalt	87 CH-3 andesite	87 CH-4 andesite	87 CH-5 andesite	87 CH-6 andesite	87 CH-7 basalt	87 CH-8 basaltic- Andesite	87 CH-9 andesite	87 CH-10 basalt	87 CH-11 basaltic- Andesite	87 CH-12 trachy- andesite	87 CH-13 trachy- andesite	87 CH-14 basalt
SiO ₂ (wt%)	50/50	49/26	51/60	51/60	56/44	54/30	50/91	50/72	50/92	51/24	50/47	53/44	54/44	47/77
TiO ₂	0/90	0/78	0/80	1/10	0/77	0/60	0/80	10/70	0/80	1/59	0/90	0/72	0/70	0/80
Al ₂ O ₃	16/30	15/45	16/96	16/60	14/22	13/70	16/30	13/82	14/15	11/50	14/50	14/41	15/40	11/93
Fe ₂ O ₃ (tot)	8/00	11/40	8/10	7/90	9/29	5/70	12/00	8/45	11/27	11/59	8/30	9/09	9/00	10/73
MnO	0/70	0/20	0/40	0/30	0/16	0/10	0/13	0/24	0/14	0/26	0/20	0/14	0/15	0/19
MgO	11/20	10/10	2/10	1/30	4/00	1/10	7/04	6/11	6/73	3/75	7/60	7/80	6/20	5/39
CaO	4/32	5/00	8/10	4/50	6/00	8/10	5/10	4/88	5/87	11/18	8/30	8/18	5/80	12/10
Na ₂ O	1/80	1/50	2/00	0/40	2/50	2/40	3/50	1/46	2/65	2/61	1/90	1/33	2/10	1/07
K ₂ O	3/10	1/10	5/70	5/80	2/70	3/40	1/10	2/46	1/30	0/19	1/90	1/00	1/10	0/95
P ₂ O ₅	0/70	0/14	0/80	0/60	0/12	0/30	0/19	0/25	0/21	0/24	0/30	0/15	0/17	0/24
LOI	3/50	5/20	2/20	8/50	2/96	7/80	3/77	2/25	5/60	5/80	7/30	3/22	3/50	8/40
Total	100/95	100/13	98/76	98/60	99/16	100/9	100/84	101/13	97/03	99/85	98/70	99/48	98/56	99/37
ppm														
Au	0/10	0/10	0/10	0/10	0/10	0/10	0/10	0/10	0/30	0/10	0/10	0/10	0/10	0/10
Ag	5458/0	1811/0	85/00	29.6/0	19/50	24/40	20/80	32/00	41/00	14/20	18/00	22/20	11/40	10/10
As	3/40	15/10	6/40	10/60	3/10	4/00	26/70	15/20	16/90	8/20	11/80	12/70	2/70	74/20
Ba	2/71	22/00	441/00	622/00	515/00	58/00	492/00	932/00	94/00	409/00	432/00	837/00	1204/0	19/00
Bi	0/33	4/22	0/08	0/08	0/04	5/68	0/04	0/07	0/41	0/18	0/01	0/13	0/10	0/37
Co	18/90	10/80	14/80	26/50	29/60	18/40	20/80	20/00	16/10	20/40	22/00	15/80	6/90	2/80
Cr	31/00	14/00	44/00	44/00	45/00	14/00	29/00	27/00	14/00	39/00	28/00	27/00	17/00	11/00
Ni	12/80	9/40	15/80	19/50	24/40	20/80	32/00	14/20	8/90	18/00	22/20	11/40	10/10	5/40
Nb	4/57	0/74	7/09	5/99	6/56	1/27	4/11	4/32	0/55	7/00	6/45	6/90	2/97	1/44
Rb	69/50	12/30	90/40	100/50	50/50	18/10	108/90	148/40	9/90	71/60	62/90	81/50	102/30	21/90
Sb	1/60	16/05	0/92	6/39	0/97	3/38	4/21	1/75	15/12	1/02	0/94	1/91	1/43	0/48
Se	13/90	2/00	19/00	14/40	25/50	6/90	13/60	14/80	1/90	17/80	10/90	11/20	13/40	4/49
Sn	0/70	0/60	1/10	1/20	1/20	0/40	0/80	0/40	1/00	1/00	1/30	0/60	0/10	

ادامه جدول ۱

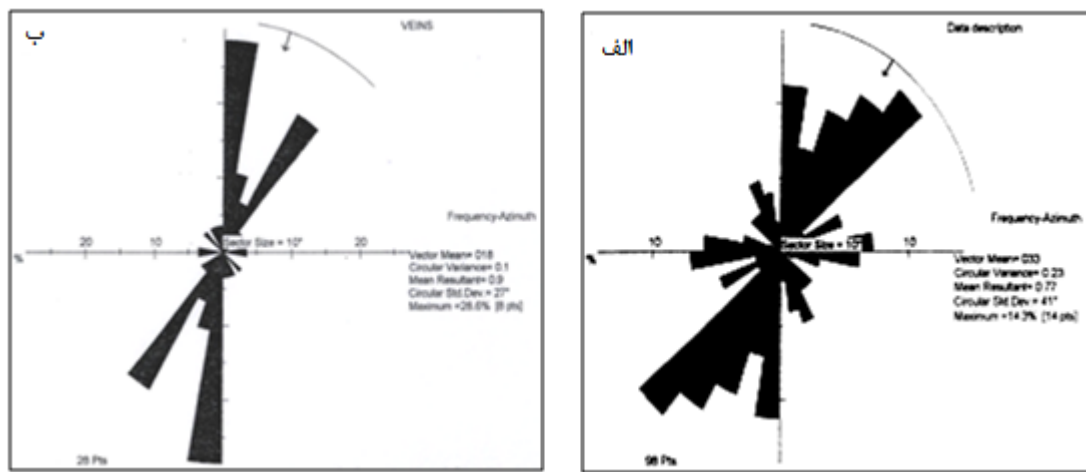
Sr	۱۴۲/۰۰	۳۸/۰۰	۳۳۴/۰۰	۸۰/۰۰	۷۶۶/۰۰	۲۹/۰۰	۲۰۲/۰۰	۲۰۴/۰۰	۵۵/۰۰	۴۰۶/۰۰	۴۴۸/۰۰	۱۴۳/۰۰	۳۳۴/۰۰	۲۱۵/۰۰
Th	۳/۸۰	۰/۵۰	۴/۲۰	۲/۲۶	۵/۰۰	۰/۸۰	۱/۸۰	۳/۳۰	۰/۴۰	۴/۸۰	۴/۱۰	۴/۳۰	۱/۹۰	۰/۷۰
U	۰/۱۰	۰/۵۰	۱/۰۰	۱/۸۰	۱/۵۰	۰/۵۰	۰/۷۰	۱/۱۰	۰/۶۰	۱/۳۰	۱/۱۰	۱/۲۰	۰/۸۰	۰/۵۰
Zn	۱۵۸/۶۰	۵۵۹/۸۰	۱۰۲/۵۰	> ۱۰۰۰	۹۰/۱۰	۱۹۵/۷۰	۴۴۱/۳۰	۱۹۷/۷۰	۶۵/۰۰	۱۰۷/۳۰	۱۳۴/۴۰	۱۸۰/۶۰	۱۶۹/۷۰	۱۶۸/۰
Pb	۳۶/۰۱	۷۳۲/۰۰	۱۸/۳۴	> ۱۰۰۰	۳۶/۷۱	۱۳/۷۵	۲۷۳/۰۰	۸۵/۹۰	۲۸۰/۷۰	۳۲/۴۴	۴۷/۶۷	۲۱/۰۹	۴۰/۱۶	۳۴/۳۴
V	۱۲۴/۰۰	۳۰/۰۰	۲۲۲/۰۰	۱۹۵/۰۰	۲۷۴/۰۰	۵۲/۰۰	۱۸۵/۰۰	۱۶۰/۰۰	۳۵/۰۰	۲۱۵/۰۰	۱۵۰/۰۰	۱۱۹/۰۰	۱۳۷/۰۰	۶۸/۰۰
Y	۲۰/۰۰	۲/۶۰	۱۶/۲۰	۵/۹۰	۱۸/۷۰	۳/۰۰	۸/۰۳	۱۲/۷۰	۲/۷۰	۱۸/۰۰	۱۴/۳۰	۱۱/۸۰	۱۳/۱۰	۲۲/۴۰
Cu	۴۵۰/۴۰	۲۴۹۶/۰	۱۰۳/۵۰	۷۴۶/۳۰	۳۹/۹۸	> ۱۰۰۰	۴۹/۸۶	۱۲۱/۶۰	۷۷۲/۱۰	۵۲۸/۰۰	۱۲/۵۸	۱۳۱۹/۰	۷۷/۲۲	۲۰۰/۷۰
Mn	۳۷۲۲/۰	۸۹۷/۰۰	۱۷۳۷/۰	۳۸۱/۰۰	۱۰۰/۱۰	۳۱۸/۰۰	۲۰۰۰/۰	۳۳۷۵/۰	۲۲۶۵/۰	۱۰۰۳/۰	۱۱۱۱/۰	۱۷۳۱/۰	۶۳۸/۰۰	۶۷۱۲/۰
Fe%	۵/۶۹	۲/۹۷	۴/۶۰	۴/۶۷	۵/۹۰	۸/۹۴	۵/۵۱	۵/۰۳	۴/۱۱	۴/۸۶	۴/۶۸	۵/۱۶	۳/۵۸	۴/۱۱
Mg%	۲/۷۱	۰/۰۵	۱/۱۳	۱/۰۱	۱/۸۹	۰/۰۳	۰/۰۵	۲/۲۴	۰/۰۵	۲/۰۷	۱/۱۰	۰/۸۹	۰/۷۳	۰/۲۰
REE														
La	۱۶/۰۰	۲/۰۰	۱۴/۰۷	۹/۰۶	۱۹/۳۰	۱۱/۱۰	۷/۴۰	۱۴/۲۰	۱/۸۰	۱۷/۵۰	۱۵/۷۰	۱۲/۱۰	۲۹/۳۰	۲۰/۰۰
Ce	۳۴/۳۰	۴/۱۶	۲۳/۷۸	۱۷/۵۷	۳۸/۵۲	۱۶/۱۴	۱۷/۴۱	۲۷/۱۹	۴/۶۸	۳۷/۴۰	۳۱/۳۷	۲۷/۸۶	۴۶/۷۵	۷۳/۳۳
Nd	۲۵/۵۰	۲/۸۰	۲۲/۰۰	۱۲/۸۰	۲۲/۵۰	۵/۹۰	۱۰/۸۰	۱۶/۵۰	۲/۶۰	۲۰/۵۰	۱۶/۳۰	۱۵/۳۰	۲۳/۰۰	۳۰/۶۰
Sm	۵/۵۰	۰/۰۵	۴/۴۰	۲/۶۰	۴/۴۰	۱/۱۰	۲/۴۰	۲/۸۰	۰/۸۰	۴/۱۰	۳/۰۱	۲/۹۰	۳/۷۰	۷/۳۰
Eu	۱/۸۰	۰/۲۰	۱/۲۰	۰/۰۵	۱/۳۰	۰/۳۰	۰/۶۰	۰/۸۰	۰/۳۰	۱/۰۰	۰/۸۰	۰/۷۰	۱/۶۰	۲/۴۰
Hf	۱/۹۵	۰/۲۸	۲/۴۵	۱/۴۸	۳/۱۵	۰/۳۸	۱/۵۱	۲/۰۸	۰/۱۱	۲/۷۰	۲/۹۸	۲/۳۶	۱/۱۲	۰/۱۱
Yb	۱/۶۰	۰/۲۰	۱/۷۰	۰/۸۰	۱/۹۰	۰/۳۰	۰/۹۰	۱/۴۰	۰/۲۰	۱/۶۰	۱/۴۰	۱/۱۰	۱/۰۰	۰/۹۰
Lu	۰/۲۰	۰/۰۱	۱/۲۰	۰/۱۰	۰/۳۰	۰/۱۰	۰/۱۰	۰/۲۰	۰/۱۰	۰/۳۰	۰/۲۰	۰/۲۰	۰/۲۰	۰/۱۰
Er	۱/۶۰	۰/۳۰	۱/۷۰	۰/۸۰	۲/۲۰	۰/۳۰	۱/۰۰	۱/۴۰	۰/۲۰	۱/۸۰	۱/۵۰	۱/۲۰	۱/۱۰	۱/۳۰



شکل ۴. الف- سنگهای منطقه معدنی چشمی حافظ در محدوده سنگهای کالک الکالن غنی از پتاسیم تا شوشوونیتی قرار می‌گیرند [۶]. ب- نمودار ردبهندی TAS و موقعیت سنگهای منطقه [۷,۹]. پ- نمودار عنکبوتی سنگهای منطقه معدنی [۱۴] و ت- نمودار موقعیت تکتونیکی رسم شده برای سنگهای منطقه معدنی [۱۶].

گسل‌ها با روند N۳۵-۴۵E و N۷۰E است که گسلهای با روند N۷۰E موازی با گسل اصلی ناحیه (تروود) هستند که دارای دو مؤلفه افقی چپ‌گرا و عمودی است. رگه اصلی کانه دار چشمی حافظ در امتداد گسل چشمی حافظ (روند شمالی - جنوبی) تشکیل شده است. گسلهای با روند شمال غربی - جنوب شرقی در منطقه معدنی از اهمیت کمتری برخوردار هستند و سیستم گسلی با امتداد شرقی - غربی گسل‌هایی هستند که در امتداد آنها رگه‌های کربناتی سفید تا قهوه‌ای فاقد آثار کانه‌زایی تشکیل شده است.

زمین ساخت منطقه معدنی
منطقه معدنی چشمی حافظ در کمربند ترود - چاه شیرین در اثر حرکت گسلهای اصلی انجیلو و ترود به شدت گسله شده که کانه‌زاییها در ارتباط با گسلها و شکستگی‌های ایجاد شده در منطقه هستند. با توجه به نقشه زمین‌شناسی تهیه شده و نمودار گل‌سرخی، چهار سیستم گسلی در منطقه قابل تشخیص است (شکل ۵ الف). گسلهایی با روند شمالی - جنوبی و شمال شرقی - جنوب غربی گسلهایی هستند که بیشترین کانه‌زایی در امتداد آنها رخداده است (شکل ۵ ب). فراوانترین



شکل ۵. الف. نمودار گل سرخی فراوانی گسلها در منطقه معدنی. ب- نمودار گل سرخی فراوانی رگهای کانه‌دار در منطقه معدنی.

کانی سازی

زون‌های کانه‌زایی در منطقه حافظه چشمی حافظه در دو تونل قدیمی به نام چشمی حافظه و گردنه توتو مورد مطالعه قرار گرفته است. تونل چشمی حافظه که در اطراف معدن متروکه چشمی حافظه قرار دارد شامل رگه‌ای اصلی چشمی حافظه (شکل ۷ الف) با روند N¹⁰⁻²⁰E و شیب SW⁻⁶⁰ - ۵۰ دارای ضخامت ۰/۳ تا ۵ متر است. بیشترین کارهای معدن کاری قدیمی در امتداد این رگه صورت گرفته است. ناحیه گردنه توتو در شمال غرب معدن متروکه چشمی حافظه واقع شده و دو رگه اصلی در این منطقه رخنمون دارد. رگه‌های معدنی گردنه توتو با روند N³⁰⁻⁴⁵E و شیب SW⁻³⁰ - ۴۰ دارای ضخامت ۰/۲ تا ۲ متر هستند. مطالعات کانی‌شناسی نشان می‌دهد که کانی‌شناسی در منطقه معدنی به دو صورت هیپوژن و سوپرژن است. از کانه‌های هیپوژن می‌توان به گالن، اسفالریت، پیریت، کالکوپیریت، دیزئیت، بورنیت و تتراهربریت اشاره کرد و کانه‌های سوپرژن شامل کوولیت، اکسید و هیدروکسیدهای آهن، کالکوسیت، سروزیت و مالاکیت هستند. براساس مطالعات صحرایی، بررسی نمونه‌های دستی، مطالعات میکروسکوپی، میکروسکپ الکترونی روبشی SEM و بر مبنای روابط بافتی موجود بین کانه‌ها و کانی‌ها در کانسار چشمی حافظه توالی پارازنی تهیه شد (شکل ۶) که بر اساس آن کانه‌زایی هیپوژن به سه مرحله قابل تقسیم است که شامل:

دگرسانی

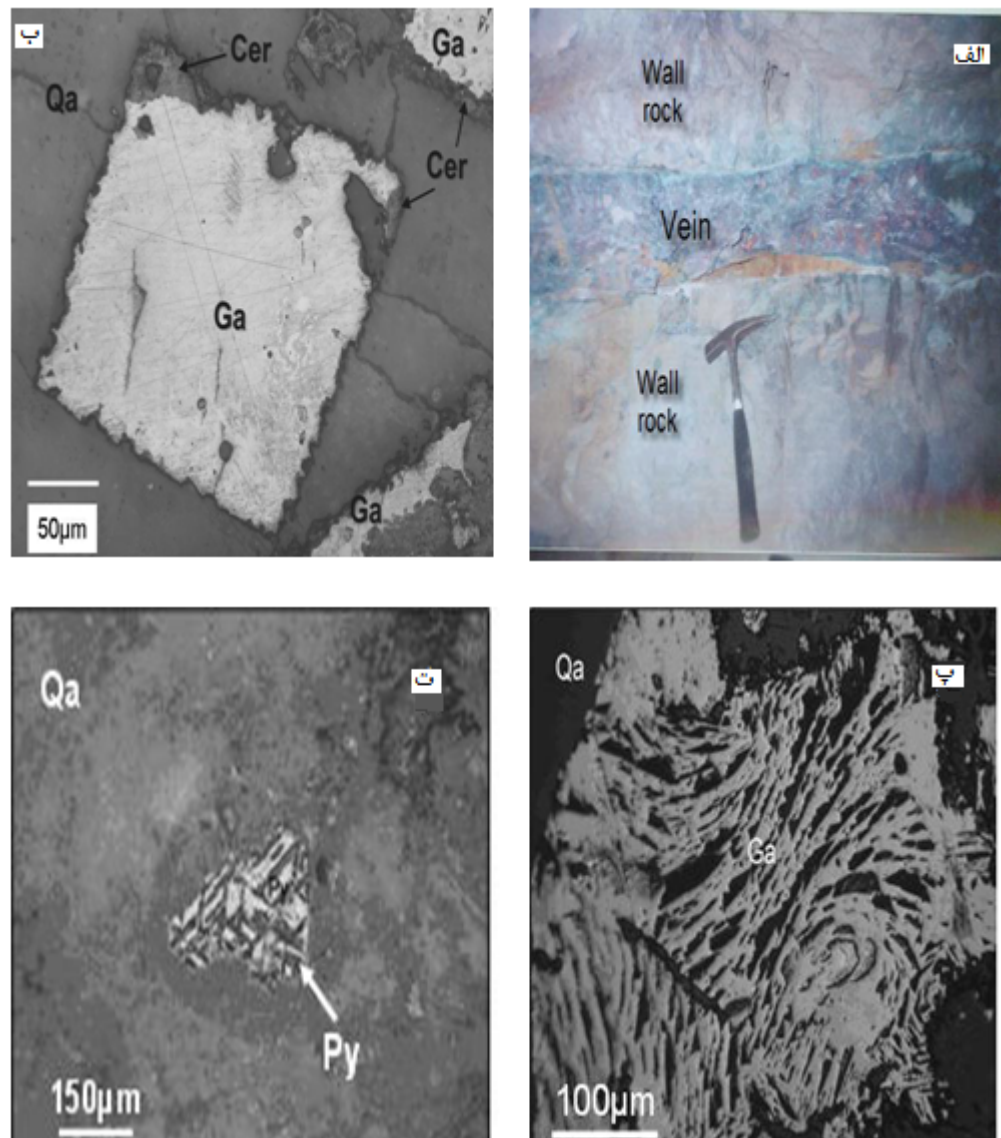
دگرسانی گرمابی در منطقه چشمی حافظه در نزدیکی رگه‌ها شدید بوده و پهنه‌ای هاله‌های دگرسانی از چند سانتی‌متر تا ۲ متر در اطراف رگه‌ها متغیر است و شامل دگرسانیهای پروپیلیتیکی، سرسیتی، آرژیلیتی و سیلیسی شدن است. سرسیتی، آرژیلیتی و سیلیسی شدن رایج‌ترین دگرسانی مرتبط با کانی‌سازی است که در اطراف رگه‌ها قابل تشخیص است. دگرسانیهای موجود در منطقه معدنی چشمی حافظه دارای زون بندی مشخص هستند به طوری که در فاصله‌های دورتر از رگه‌ها تا ۳۰ متر در اطراف گسل‌ها به طور عمدی شامل کوارتز- مسکوویت - ایلیت و کربنات با مقادیر کمتری کوارتز - آنکریت مشاهده می‌شود. در فاصله‌های نزدیکتر دگرسانی شدیدتر است و فنوکریستلهای پلازیوکلاز به طور جزئی و یا کامل به کربنات‌های ریزدانه و مسکوویت تبدیل شده اند. در مجاورت بلافصل رگه‌ها کوارتز - ایلیت گسترش بیشتری دارد و درشت بلورها به طور کامل توسط کربنات‌های ریزدانه و ایلیت جانشین شده‌اند. این مشاهدات نشان می‌دهد که سیال هیدروترمال در اثر عبور از گسل‌ها با کاهش دما مواجه شده و مسکوویت در ابتدا تشکیل شده و بعداً به وسیله ایلیت جانشین شده است.

کم پیریت و کالکوپیریت است. در بعضی از بلورهای گالن تغییر شکل‌هایی در رخهای مثلثی شکل آنها دیده می‌شود (شکل ۷ پ) که معروف حوادث تکتونیکی بعد از کانه‌زایی است [۱۸]. بلورهای پیریت نیز تحت تأثیر حوادث تکتونیکی در منطقه شدیداً خرد شده هستند (شکل ۷ ت).

مرحله اول) کوارتز، کلسیت با مقدار کمی پیریت و کالکوپیریت؛ مرحله دوم) مرحله اصلی کانی‌سازی سولفیدی است که شامل گالن خودشکل اولیه (شکل ۷ ب)، سپس گالن، اسفالریت و کالکوپیریت و در نهایت گالن، کالکوپیریت، پیریت، تتراهدریت، بورنیت و دیژنیت؛ مرحله سوم) شامل رگه‌های کوارتز و کربنات فاقد آثار کانی‌سازی همراه با مقدار

Mineral	Stage 1			Stage 2 (Main sulfide stage)	Stage 3	Post ore/ Supergen
	c	b	a			
Quartz	—	—	—	—	—	—
Pyrite	—	—	—	—	—	—
Chalcopyrite	—	—	—	—	—	—
Galena	—	—	—	—	—	—
Sphalerite	—	—	—	—	—	—
Bornite	—	—	—	—	—	—
Tetrahedrite- Tenantite	—	—	—	—	—	—
Digenite	—	—	—	—	—	—
Calcite	—	—	—	—	—	—
Fe-oxy- hydroxides	—	—	—	—	—	—
Covellite	—	—	—	—	—
Chalcocite	—	—	—	—	—
Malachite	—	—	—	—	—	—
Cerussite	—	—	—	—	—	—

شکل ۶. توالی پارازنی در کانسار چشمeh حافظ.



شکل ۷. الف- رگه کانه‌دار در تونل قربان. ب- بلور گالن که از اطراف به سروزیت تبدیل شده است. پ- تغییر شکل پیچشی در حفره‌های گالن در اثر حوادث تکتونیکی. ت- بلور پیریت که در اثر حوادث تکتونیکی خرد شده.

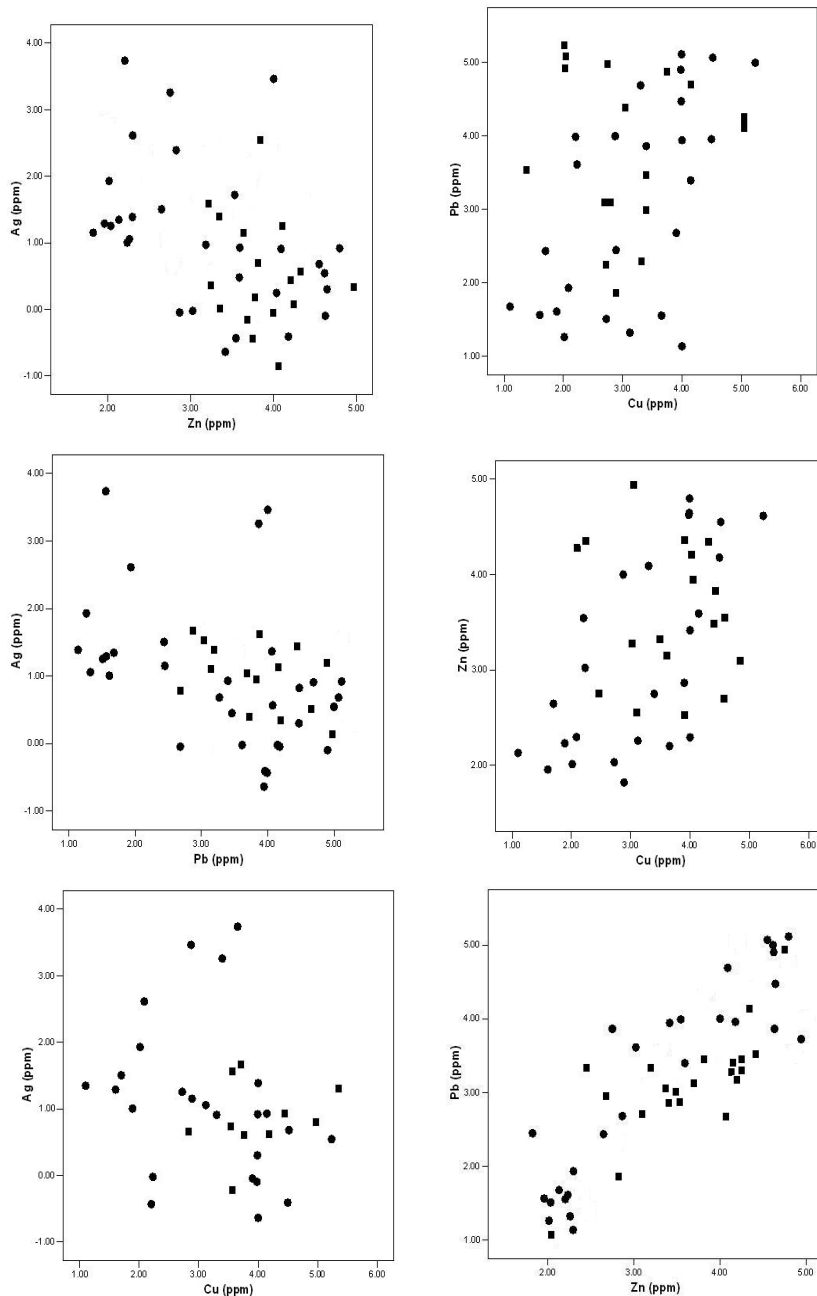
را با عناصر فلزات پایه نشان می‌دهد و بالاترین همبستگی طلا با عناصر نقره و آنتیموان است. کادمیم همبستگی بالایی را با عناصر فلزات پایه (مس = ۰/۷۸، سرب = ۰/۸۸ و روی = ۰/۷۵) نشان می‌دهد. آرسنیک نیز دارای همبستگی بالایی با سرب و روی است. بیسموت با اکثر عناصر دارای ضریب همبستگی ضعیفی است و تنها با مس همبستگی خوبی را نشان می‌دهد. در امتداد رگه‌های معدنی چشمeh حافظ و گردنه توتو یک زون‌بندی ژئوشیمیایی مشاهده می‌شود. بالاترین عیار سرب و روی در شمال منطقه معدنی در رگه‌های گردنه توتو به ثبت رسیده است و بالاترین عیار مس، طلا و نقره در جنوب منطقه معدنی در اطراف معدن متروکه چشمeh حافظ اندازه‌گیری شده است. زون‌بندی ژئوشیمیایی منطبق بر همبستگی بین عناصر است و همبستگی ژئوشیمیایی بین عناصر را تأیید می‌کند.

ژئوشیمی با توجه به نتایج تجزیه شیمیایی ۱۲ نمونه معرف (از تعداد ۲۴۹ تجزیه شیمیایی) از بخش‌های مختلف رگه‌ها (جدول ۲)، عیار کمینه، میانگین و بیشینه عناصر به ترتیب عبارتند از ۸/۵۰، ۰/۱۵، ۰/۷۰ گرم در تن طلا، ۰/۲۳، ۳/۲۳ و ۰/۰۰۸۶ گرم در تن نقره، ۰/۴۱، ۴/۴۷ و ۱۳ درصد وزنی سرب، ۱۷/۱، ۲/۶۴، ۰/۰۱۶ درصد وزنی روی، ۴/۲ و ۱۰/۷۳ درصد وزنی ژئوشیمیایی عناصر در رخنمونهای سنگی و رگه‌های کانه دار نمودارهای خوش‌های و همبستگی ماتریس انطباقی رسم شد (شکل ۸).

در میان فلزات پایه، سرب و روی همبستگی بسیار بالایی (۰/۹۴) را نشان می‌دهند میزان همبستگی مس با دو فلز دیگر خیلی بالا نیست و مس همبستگی خوبی را با بیسموت نشان می‌دهد. از میان فلزات گران‌بها طلا همبستگی ضعیفی

جدول ۲. نتایج تجزیه ۱۲ نمونه معرف (از تعداد ۲۴۹ نمونه) در امتداد رگه‌های معدنی به روش AAS در شرکت زرکاوان ایران.

Samples	Ch-tr-17	Ch-tr-18	Ch-tr-84	Ch-74	Ch-tr-10	Ch-87-po	Ch-87	Ch-88	Ch-tr-50	Ch-tr-80	Ch-tu-95	Ch-99
Pb (%)	۱۲/۰۰	۴/۹۱	۱۰/۰۰	۰/۹۱	۸/۰۰	۱۱/۷۰	۲/۹۷	۰/۰۴	۰/۴۱	۰/۹۸	۰/۸۸	۰/۲۵
Cu (%)	۰/۹۸	۲/۰۰	۱۷/۱۶	۳/۱۳	۰/۹۵	۳/۳۰	۰/۹۷	۰/۸۰	۰/۰۲	۰/۰۲	۱/۰۰	۱/۴۰
Zn (%)	۰/۶۲	۱/۲۳	۴/۱۰	۱/۵۱	۴/۲۲	۳/۵۶	۴/۴۲	۰/۰۷	۰/۱۰	۰/۳۵	۰/۲۶	۰/۳۹
Au (ppm)	۰/۰۶	۰/۳۳	۰/۷۰	۰/۱۶	۰/۱۰	۰/۰۹	۰/۰۳	۰/۰۳	۰/۰۲	۰/۰۸	۰/۰۴	۰/۲۸
Ag (ppm)	۸/۳۰	۸/۱۰	۳/۵۰	۰/۳۹	۰/۸۰	۴/۸۰	۲/۰۰	۰/۹۰	۰/۹۵	۰/۳۷	۰/۲۳	۸/۵۰
Mo (ppm)	۲۰/۷۰	۱۴/۳۰	۱۴/۹۰	۱۷/۸۰	۰/۵۰	۱/۰۰	۸/۸۹	۱/۴۰	۲/۸۰	۱۴/۹۰	۰/۸۶	۱۹/۰۰
Cd (ppm)	۱۵۳/۰۰	۱۷/۰۰	۱۶/۵۰	۳/۶۰	۱/۹۰	۵/۰۰	۶۴/۰۰	۵/۰۰	۲/۴۰	۲/۲۰	۱۲/۰۰	۱۳/۵۰

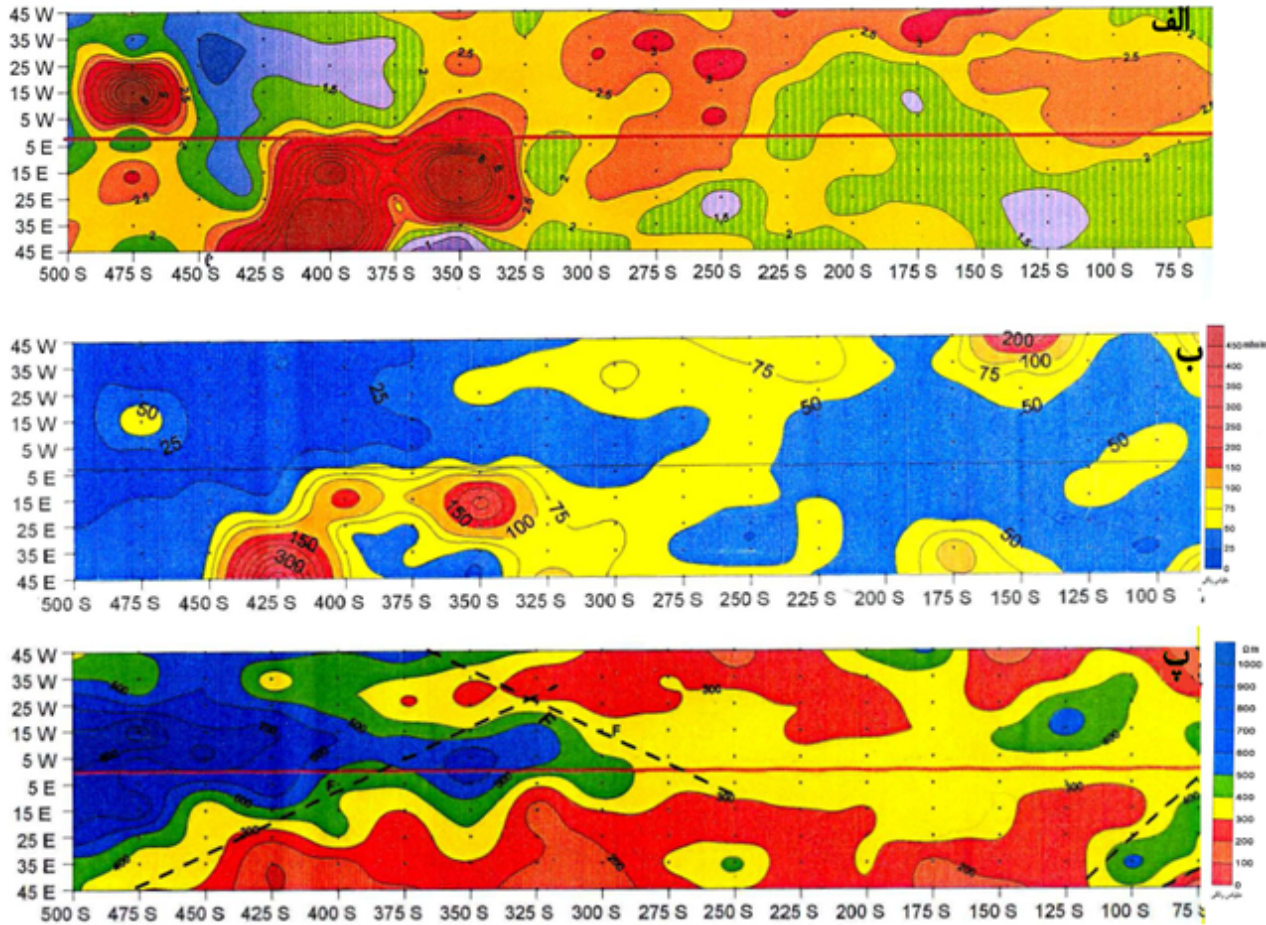


شکل ۸. نمودار ضریب همبستگی رتبه‌ای پیرسون بین عناصر Pb-Zn, Zn-Cu, Pb-Cu, Ag-Cu, Ag-Pb, Ag-Zn حافظ (دایره، داده‌های سنگ میزبان و مربع، داده‌های رگه‌های کانه‌دار).

سطح زمین قرار دارد و تا عمق ۴۵ متری با شیب متمایل به غرب ادامه دارد. با توجه به نقشه درصد اثر فرکانس مشاهده می‌شود که زون با شارژبیلیته ۲ تا ۴ درصد با روند شمالی - جنوبی منطبق بر رگه قرار گرفته است. این آنومالی در نقشه MF (نقشه عامل فلزی) و نقشه مقاومت ظاهری مشخص است. لازم به ذکر است بر پایه شواهد صحرایی و کانی شناسی وجود اکسید آهن به ویژه هماتیت، مگنتیت و گوتیت، رگه‌ها و دگرسانیهای اطراف رگه‌ها عامل اصلی در تعیین آنومالی‌های ژئوفیزیکی است.

ژئوفیزیک

با در نظر گرفتن امتداد و شیب رگه‌ها، محدوده معدنی گردنه توتو با دو آرایه مستطیلی با مشخصات $AB = ۵۰۰$ و $MN = ۱۰$ کیلومتر مربع مطالعه شد. براساس این نتایج بیشترین آنومالی‌ها در پروفیل‌های ۲۵ جنوبی، ۱۰۰ جنوبی و ۲۲۵ جنوبی شناسایی شد که منطبق بر رگه اصلی گردنه توتو و زون کانه دار است (شکل ۹). این آنومالی‌ها توسط سه آرایه دو قطبی با مشخصات $AB=MN=۱۰$ متر مطالعه شد [۱۹]. عمق سطح بالایی این آنومالی‌ها در ۱۰ متری



شکل ۹. نقشه درصد اثر فرکانس (الف)، نقشه عامل فلزی MF (ب) و نقشه مقاومت ظاهری RS (پ).

صورت گرفت که نتایج مطالعات در ادامه ارائه شده است.

بر اساس تقسیم‌بندی Roedder و Shepherd et.al [۲۱,۲۰] سیالات درگیر در بلورهای کوارتز رگه‌های چشمی حافظ در دمای اتاق به انواع اولیه، ثانویه و ثانویه کاذب شناسایی شد (شکل ۱۰ الف و ب). سیالات درگیر به صورت تک فازی مایع (L) و دو فازی (L+V) هستند که اندازه آن‌ها ۵ - ۵ میکرومتر است. اشکال سیالات درگیر در نمونه‌های سیالات چشمی حافظ شامل کروی، عدسی، میله‌ای و نامنظم است (شکل ۱۰ پ و ت).

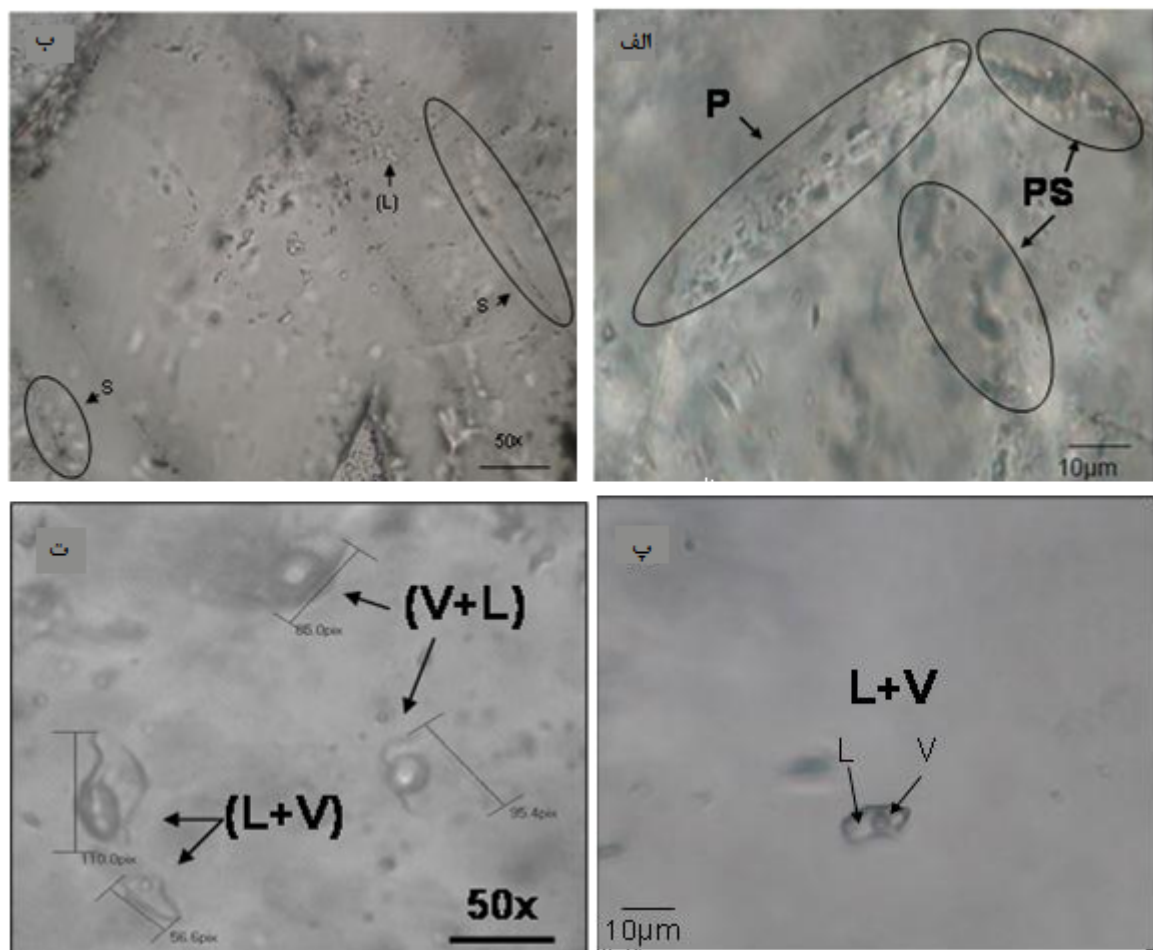
سیالات درگیر

مورفولوژی و پتروگرافی سیالات درگیر

برای مطالعات سیالات درگیر از ۳ نمونه برداشته شده از رگه کوارتزی در منطقه معدنی تعداد ۱۰ مقطع دو بر صیقل مناسب با جهت بش متفاوت تهیه شد. مطالعات سیالات درگیر بر روی تعداد ۷۰ سیال درگیر (جدول ۳) در دانشگاه تربیت معلم تهران با استفاده از دستگاه میکروسکپ (Zeiss) با عدسی شیئی LWD50X و دستگاه Linkam مدل THM600 انجام شده است. با مطالعات میکروسکوپی انجام شده مشخص شده که بلورهای اسفالریت دارای سیالات درگیر بسیار ریز بوده که برای مطالعات سیالات درگیر مناسب نیست. لذا سیالات درگیر درشت و مناسب در بلورهای کوارتز شناسایی شد و مطالعات بر روی این سیالات

جدول ۳. داده‌های میکروترموتری سیالات درگیر کانسار پلی متال چشم‌های حافظ.

شماره نمونه	کانی	نوع سیال درگیر	دماهی همگن شدن درجه سانتیگراد	دماهی اوئستیک شدن درجه سانتیگراد	نهایی بخ درجه سانتیگراد	دماهی ذوب نهایی بخ درجه سانتیگراد	میزان شوری معادل درصد نمک طعام
87-Ch-68	کوارتز	اولیه	۱۵۰-۲۳۵ ۱۳=تعداد	-۲۰/۵- تا ۱۹/۶	-۱۳/۲-۵	-۱۳/۲- تا ۷/۸	۱۷/۵ تا ۷/۸
87-Ch-Tu	کوارتز	اولیه	۱۶۰-۲۶۰ ۲۲=تعداد	-۲۱/۶- تا ۱۹/۸	-۸/۲-۲/۹	-۸/۲- تا ۴/۷	۱۲ تا ۴/۷
87-Ch-23	کوارتز	اولیه	۱۵۷-۲۵۵ ۲۶=تعداد	-۲۱/۱- تا ۱۸/۸	-۴- تا ۱۴/۲	-۴- تا ۱۷/۹	۱۷/۹ تا ۶/۲
87-Ch-38	کوارتز	ثانویه	۱۴۰-۱۹۰ ۱۰=تعداد	اندازه گیری نشد	اندازه گیری نشد	اندازه گیری نشد	

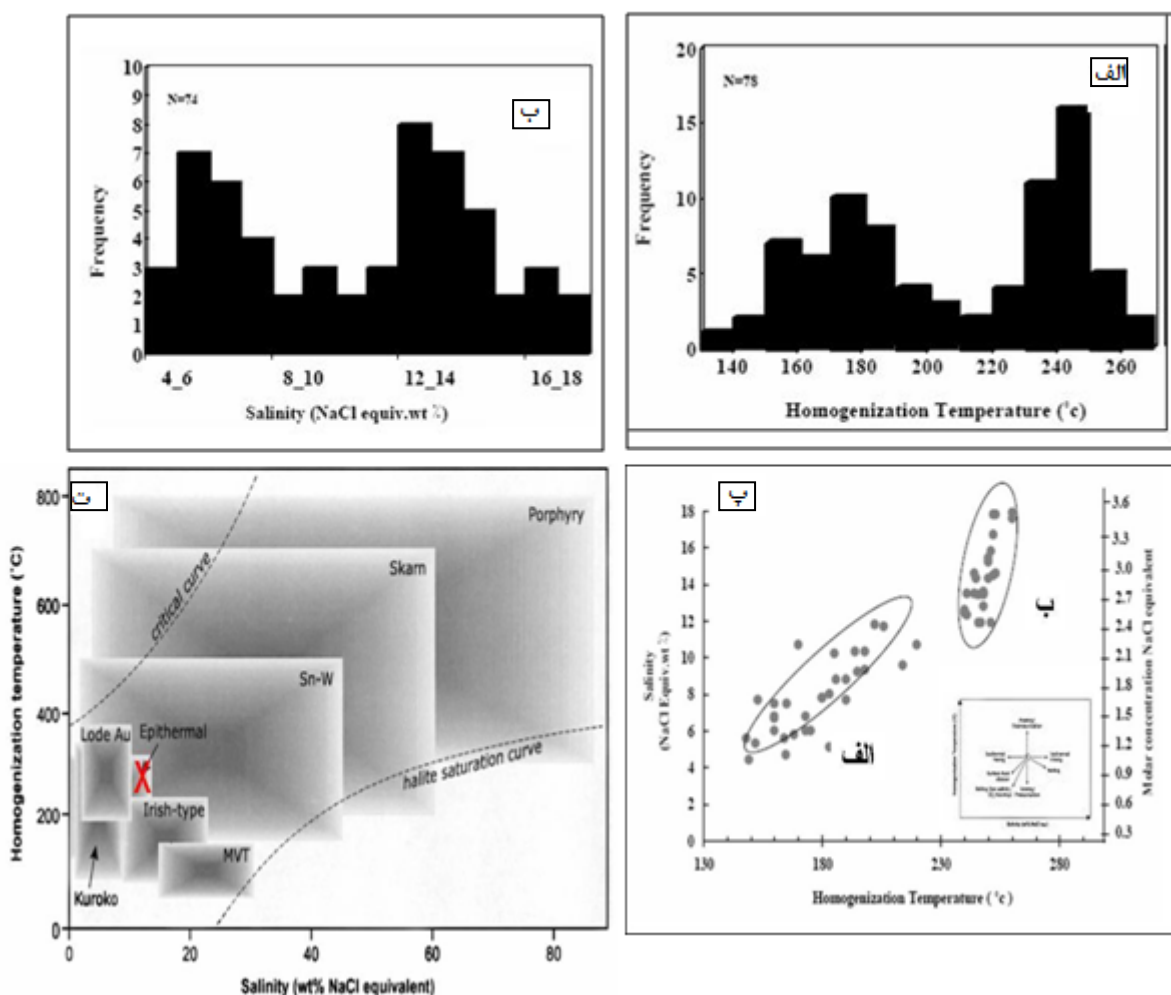


شکل ۱۰. الف و ب- نمایی از سیالات درگیر اولیه (P) و سیالات درگیر ثانویه کاذب (PS) و سیالات درگیر ثانویه (S). پ و ت- سیالات تک فازی غنی از مایع (L) و دو فازی (L+V) و (V+L) با نسبتهای مختلف بخار به مایع و اشکال کروی بیضی و نامنظم.

بالاتر ۱۰ تا ۱۸ درصد وزنی معادل NaCl (ب) است (شکل ۱۱پ). در نمودار دمای همگن شدن نیز ۲ محدوده دمایی ۱۸۰ و ۲۵۰ درجه سانتیگراد نشان‌دهنده این ۲ سیال متفاوت است. احتمالاً سیال با شوری و دمای کمتر مربوط به آبهای جوی و سیال باشوری و دمای بالاتر مربوط به سیال ماقمایی است [۲۴]. نمودار شوری - دمای همگن شدن دامنه تغییرات را در امتداد یک روند خطی نشان می‌دهد که با توجه به نمودار [۲۵] بیانگر اختلاط و رقیق شدگی دو سیال را است. مقایسه نتایج حاصل از مطالعات میکروترمومتری سیالات درگیر در کانسار چشمeh حافظ با ویژگیهای سایر ذخایر نشان می‌دهد که داده‌های سیالات درگیر در محدوده کانسارهای اپی‌ترمال واقع شده است [۲۵] (شکل ۱۱ت).

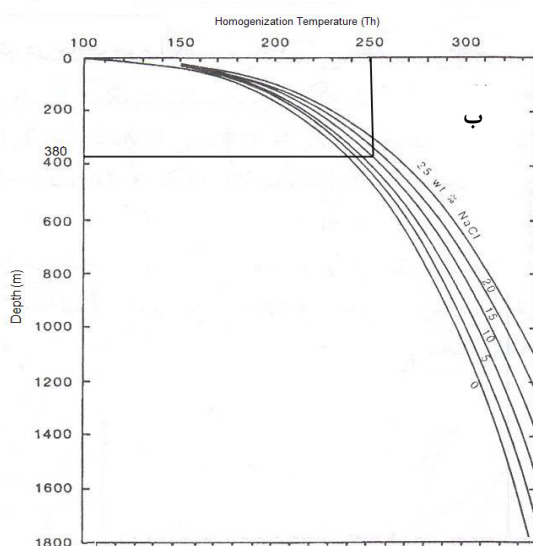
نتایج و تفسیر سیالات درگیر

میانگین دمای همگن شدن در مجموعه سیالات درگیر از ۱۴۰ تا ۳۰۰ درجه سانتیگراد به دست آمد که در دو محدوده دمایی ۱۸۰ و ۲۵۰ درجه سانتیگراد پیک‌های مشخصی دیده شده است (شکل ۱۱الف). دمای اوتکتیک به دست آمده از بیشتر سیالات درگیر بین ۱۸/۸ و ۲۱/۶ درجه سانتیگراد است که نشان می‌دهد سیال دارای ترکیب $H_2O-NaCl$ است. دمای ذوب آخرین قطعه یخ سیالات درگیر از ۴/۷ [۲۲، ۲۳] تا ۱۸ درصد وزنی معادل NaCl تغییر می‌کند (شکل ۱۱ب). براساس نمودار شوری - دمای همگن شدن، دو نوع سیال کانه ۴/۷ تا ۸ درصد وزنی معادل NaCl (الف) و ۲ سیال با شوری

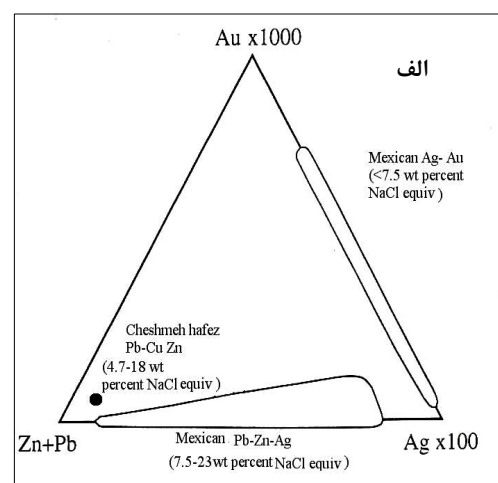


شکل ۱۱. الف- هیستوگرام دمای همگن شدن سیالات درگیر کانسار پلی‌متال چشمeh حافظ. ب- هیستوگرام میزان شوری به دست آمده از سیالات درگیر کانسار پلی‌متال چشمeh حافظ. پ- شوری سیالات درگیر - نمودار همگن شدن - نمودار همگن شدن - شوری سیالات درگیر نشان می‌دهد که کانسار چشمeh حافظ در محدوده کانسارهای اپی‌ترمال قرار می‌گیرد [۲۵]..

نسبتاً بالاتر و کانی‌سازی طلا و نقره با سیال‌های با شوری پایین تر، قبلاً نیز پیشنهاد شده است [۳۰]. ایالت‌های فلزی‌ای مکزیک میزبان تعداد زیادی کانسار اپی‌ترمال فلزهای پایه و گرانبهاست [۲۹] و در منابع علمی به عنوان کانسارهای اپی‌ترمال نوع سولفیدی شدن پایین تا حد وسط معرفی شده‌اند [۳۳-۳۱]. کانسار چشم‌حافظ با کانسار فرزینلو مکزیک قابل مقایسه است که برخی ویژگی‌های کانسار چشم‌حافظ با کانسار فرزینلو مکزیک در جدول ۴ ارائه شده است. اگرچه در مطالعه سیالات درگیر شواهدی از جوشش به دست نیامد ولی حضور مسکوویت ریز دانه و ایلیت در نزدیکی رگه‌ها نشان می‌دهد که احتمالاً جوشش محدودی در منطقه معدنی رخ داده است. با این حال برای محاسبه عمق کانی‌سازی از نمودار [۳۴] استفاده شد. برای اندازه‌گیری عمق کانی‌سازی از دمای میانگین ۲۵۰ درجه سانتی‌گراد و شوری ۱۵ درصد وزنی معادل NaCl استفاده شد که عمق به دست آمده ۳۸۰ متر زیر سطح آبهای زیر زمینی قدیمی تخمین زده شد (شکل ۱۲ ب).



بحث
ترکیب سیال کانه‌ساز و عمق تشکیل کانسار کانسارهای پلی‌متال اپی‌ترمال از لحاظ میزان طلا به شوری سیال کانه‌ساز بستگی دارند. انواع غنی از طلا با سیال با شوری کم (۲-۱۱ درصد وزنی نمک طعام) و نوع فلزات پایه و نقره با سیال با شوری بالاتر همراه هستند [۲۶] برای مثال در کانسار فرزینلو مکزیک [۲۷-۲۸] و دیگر کانسارهای مکزیک [۲۹] شوری بین ۵ تا ۲۰ درصد وزنی معادل نمک طعام ثبت شده است. شوری اندازه‌گیری شده در سیالات چشم‌حافظ بین ۴/۵ تا ۱۸ درصد وزنی معادل نمک طعام است که جایگاه آن در (شکل ۱۲ الف) در مقایسه با کانسارهای مکزیک نشان داده شده است. عیار فلزات در کانسار چشم‌حافظ شامل میانگین نسبت Ag/Au تقریباً ۲۸ و میانگین $\text{Pb}+\text{Zn}$ برابر $6/8\%$ است که متناسب با شوری بالا در کانسار است (ماکزیمم شوری ۱۸ درصد وزنی معادل نمک طعام). به این ترتیب، سیال گرمابی در منطقه چشم‌حافظ با شوری بالا مشخص می‌شود که باعث کانی‌سازی فلزات پایه و نقره در این منطقه شده و حضور کمپکس‌های طلدار در این سیال به حدی نبوده که باعث تشکیل طلا به صورت دانه‌های طلای آزاد شود. ارتباط میان کانی‌سازی نقره و فلزات پایه با سیال‌های با شوری

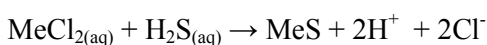


شکل ۱۲. الف. نمودار مثلثی ارتباط عناصر قیمتی و فلزات پایه در کانسار پلی‌متال چشم‌حافظ برای مقایسه کانسارهای اپی‌ترمال مکزیک نشان داده شده است [۲۹]. ب- نمودار به دست آوردن حداقل عمق در منطقه معدنی چشم‌حافظ (از دمای میانگین ۲۵۰ درجه سانتی‌گراد با شوری ۱۵ درصد وزنی معادل نمک طعام استفاده شد) [۳۴].

جدول ۴. مقایسه برخی خصوصیات کانسار چشمeh حافظ با کانسار فرزینلو مکزیک.

کانسار چشمeh حافظ	کانسار فرزینلو	خصوصیات
آندزیت - آندزیت- بازالت و تراکی آندریت	آندریت	سنگ میزبان
الیگومن?	۳۳-۲۸	سن (میلیون سال)
طلاء ۰/۱۵ (گرم در تن) نقره ۳/۲۳ (گرم در تن) روی ۴/۴۷ درصد وزنی سرپ ۱/۷۳ درصد وزنی مس ۲/۶۴ درصد وزنی	طلاء ۰/۵۶ (گرم در تن) نقره ۷۸۰ (گرم در تن) روی ۰/۷۷ درصد وزنی سرپ ۰/۳۵ درصد وزنی مس ۰/۰۲ درصد وزنی	عیار
پیریت، کالکوپیریت، گالن، اسفالریت، تتراهدربیت، کوارتز و کلسیت	پیریت، کالکوپیریت، گالن، اسفالریت، سولفوسالت نقره، کوارتز و کلسیت	کانی شناسی
۱۴۰-۳۰۰	۱۷۳-۲۶۵	دهمای همگن شدن (درجه سانتیگراد)
۴/۷-۱۸	۰/۱۰-۱۲	شوری (درصد وزنی معادل نمک طعام)
این مقاله	[۲۵]	منبع

سولفیداسیون متوسط [۳۴,۳۷] می‌توان کانسار چشمeh حافظ در رده کانسارهای اپیترمال با سولفیداسیون متوسط قرار داد. در سیستم‌های اپیترمال، نقره و فلزات پایه توسط کمپلکس‌های کلوروری حمل می‌شوند [۳۸,۳۹] و طلا توسط کمپکس بی‌سولفیدی $\text{Au}(\text{HS})_2$ حمل می‌شود [۴۰]. از عواملی که باعث تهنشین کمپکس‌های کلوروری می‌شود شامل: ۱) افزایش PH که در اثر واکنش سیالات با فلذی‌سپارها و تبدیل آن به سرسیست که نتیجه آن آزاد کردن فلزات قلیایی و قلیایی خاکی به درون سیالات می‌شود و باعث افزایش PH از طریق مصرف H^+ می‌شود. افزایش PH باعث بی‌ثباتی کمپلکس‌های کلوروری و تهنشین فلزات پایه و نقره می‌شود. ۲) در اثر رقیق شدگی توسط آبهای جوی و اضافه شدن Ca^{2+} به سیال است که Cl^- با Ca^{2+} واکنش داده و واکنش زیر را به سمت راست می‌برد و سولفید فلزات تهنشین می‌شوند.



عواملی مثل جوشش و کاهش دما باعث تهنشینی فلزات از کمپلکس‌های بی‌سولفیدی می‌شود.

مدل و عوامل مؤثر بر تشکیل کانسار

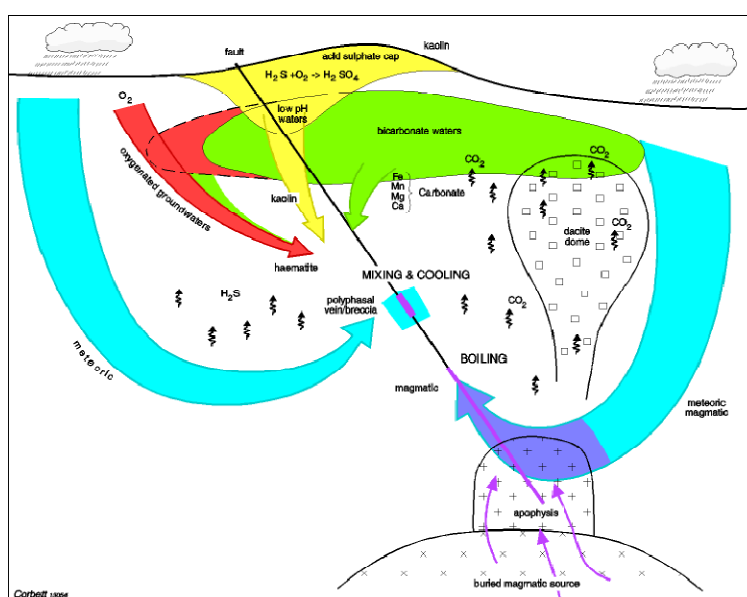
به منظور تعیین مدل کانسار، ویژگیهای کانسار چشمeh حافظ با انواع کانسارهای اپیترمال مقایسه شد. از مشخصات کانسار چشمeh حافظ می‌توان به: ۱) کانه‌زایی پیریت، کالکوپیریت، گالن، اسفالریت، تتراهدربیت، بورنیت و دیئنیت؛ ۲) کانسار از نوع غنی از فلزات پایه و با نسبت Ag/Au تقریباً ۲۸؛ ۳) متوسط عمق کانی‌سازی ۳۸۰ متر؛ ۴) نوع آلتراسیون؛ ۵) حضور کوارتز با نواریندی پوسته‌ای؛ ۶) حجم بالای سولفید در کانسار چشمeh حافظ (٪ ۲۵) اشاره کرد. حضور کانی اناڑزیت [۳۵]، دگرسانی‌های کوارتز - آلونیت، کوارتز - پیروفیلیت و کوارتز- دایکیت [۳۶] و حضور کانی کالکوسیت و کولولیت اولیه از ویژگیهای کانسارهای با سولفیداسیون بالاست که در کانسار چشمeh حافظ مشاهده نشده است. کانی ارسنوبیریت و دگرسانی ادولاریا - اسمکتیت [۳۵] شاخص کانسارهای اپیترمال با سولفیداسیون پایین است که نبود کانی ارسنوبیریت و دگرسانی مسکوویت و ایلیت به جای ادولاریا نشان می‌دهد که کانسار چشمeh حافظ در این رده قرار نمی‌گیرد. با مقایسه ویژگیهای کانسار چشمeh حافظ با ویژگیهای ذکر شده برای کانسارهای اپیترمال با

نشده است. پدیده‌های سریسیتی شدن (افزایش فشار) و رقیق‌شدگی و در پی آن کاهش دما عوامل مؤثر در تهنشین فلزات در کانسار اپی‌ترمال چشم‌های حافظ هستند.

کانی‌سازی اولیه در منطقه چشم‌های حافظ در سه مرحله رخداده است. مرحله اول شامل کوارتز، کلسیت با مقدار کمی پیریت و کالکوپیریت و مرحله دوم که مرحله اصلی کانی‌سازی سولفیدی است شامل گالن خودشکل اولیه، سپس گالن، اسفالیت و کالکوپیریت و در نهایت گالن، کالکوپیریت، پیریت، تراهادریت، بورنیت و دیژنیت است که با رگه‌های کوارتز و کربنات فاقد آثار کانی‌سازی با مقدار کم پیریت و کالکوپیریت همراه است. کانی‌سازی سوپرژن در منطقه شامل کانه‌های کوولیت، مالاکیت، دیژنیت، کالکوسیت، سروزیت و اکسید و هیدروکسیدهای آهن است. رگه‌ها به سمت شمال منطقه معدنی (گردنه توتو) از لحاظ عیار عنصر روی و سرب افزایش دارند و در قسمت جنوب منطقه در محل معدن متروکه چشم‌های حافظ عیار عناصر مس، طلا و نقره بالاست. نمودار شوری – دمای همگن شدن در منطقه چشم‌های حافظ نشان می‌دهد که یک سیال با شوری بالا به طور متناوب در سامانه چشم‌های حافظ ترزیق شده است.



جوشش و آمیختگی دو فرآیند مهم تهنشینی فلزات در سیستم‌های اپی‌ترمال است [۴۱، ۴۲]. جوشش در طی حرکت رو به بالا سیال در درون سیستم با نفوذپذیری بالا رخ می‌دهد، در حالی که نیمرخ‌های گرمایی خطی که به دلیل آمیختگی یا نفوذپذیری کم ایجاد می‌شوند در حاشیه‌های سیستم عمومیت دارد [۴۳]. ارتباط بین داده‌های Tm_{ice} و Th در منطقه چشم‌های حافظ روند رقیق‌شدگی را برای سیال نشان می‌دهد که دلالت بر آمیختگی یک سیال داغ و شور با یک سیال سردتر و رقیق‌تر دارد. با در نظر گرفتن توالی پاراژنزی کانی‌سازی و تغییرات سیستماتیک Tm_{ice} و Th در بلورهای کوارتز، به نظر می‌رسد که سیال با شوری بالاتر به طور متناوب در سیستم اپی‌ترمال تزریق شده و با سیال با شوری پایین تر آمیخته شده است (شکل ۱۳). احتمالاً سیال داغ با شوری دارند. سیال شور و غنی از فلزهای پایه، توان تشکیل دانه‌های آزاد طلا را نداشته و تنها باعث کانی‌سازی فلزهای پایه و نقره در این منطقه شده است. بنابر این می‌توان نتیجه گرفت که به دلایل ۱) شوری بالای سیال کانه‌زا، ۲) مقدار عیار کم طلا در سنگهای رخنمون یافته در منطقه معدنی چشم‌های حافظ و ۳) فقدان جوشش زیاد، در منطقه چشم‌های حافظ کانی‌سازی طلا به طور اقتصادی تشکیل



شکل ۱۳. سیالات هیدروترمالی منشأ گرفته از توده نفوذی و تزریق پی در پی آن در گسلهای منطقه و اختلاط با آبهای جوی و تهنشین شدن ماده معدنی [۴۲].

"Geochemical discrimination between shoshonitic and potassic volcanic rocks in different tectonic settings", A pilot study , Mineral,(1992) Petrol.,46 , 259–289.

[10] Kennedy, A.K., Grove, T.L. Johnson, R.W., "Experimental and major element constraints on the evolution of lavas from Lihir Island", New Guinea, Contrib. Mineral. Petrol., (1990) 104, 722–734.

[11] Schmidt, G., Palme, H. Kratz, K.L. Kurat, G., "Are highly siderophile elements ZPGE, Re and Au", fractionated in the upper mantle of the earth, new results on peridotites from Zabargad, Chemical Geology, 163 (2000) 167–188.

[12] Pearce,J.A . and Can,J.R. , "Tectonic setting of basic volcanic rocks determined using trace elements analysis", Earth planet. (1973) 290-30.

[13] Muller, D., Leander, F., Peter, M., and Stev, H., "Potassic igneous rocks from the vicinity of epithermal gold mineralization", Lihir Island, Papua New Guinea, Lithos, 57 (2001) 163-185.

[14] McDonough, W.F., and Sun, S.-S., "The composition of the earth", Chemical Geology, 120 (1995) 223–253.

[15] Pearse, J.A., Peate, D.W., "Tectonic implications og the composition of the volcanic arc magmas", Annual Review of Earth and Planetary Science, (1995) v. 23, 251-285.

[16] Wood, D.A., Joron, J. L., and Treuil, M., "A re-appraisal of the use of trace elements to classify and discriminate between magma series in different tectonic setting", Earth Planet. Sci. letter, 45 (1980) 326-336.

[17] Hassanzadeh, J., Ghazi, A.V. Axen, G. and Guest, B., "Oligomiocene mafic-alkaline magmatism in north and northwest of Iran: Evidence for the separation of the Alborz from the Urumieh-Dokhtar magmatic arc", Geological Society of America Abstracts with Program, 34 (2002) no. 6, 331p.

[18] Downes, P.M., "Yerranderie a Late Devonian Silver-Gold-Lead intermediate sulfidation epithermal district", Eastern Lachlan Orogen, New South Wales, Australia, Resource Geology, 57 (2006) 1-23.

[۱۹] شرکت تحقیقات و کاربرد مواد معدنی ایران، "اکتشافات ژئوفیزیکی در منطقه گردنه توتو"، ۳۰۰ صفحه.

نتیجه‌گیری

کارشناسی از چشمی حافظ از نوع فلزات پایه اپی‌ترمال با سولفیداسیون متوسط است که رقیق‌شدنی عامل اصلی نهشت کانسنگ چشمی حافظ بوده است.

مقدار شوری بالا در سیال گرمابی چشمی حافظ باعث کارشناسی فلزهای پایه و نقره شده است و حضور کمپلکس‌های طلدار به حدی نیست که دانه‌های طلای آزاد تشکیل شود. در مقاطع صیقلی نیز دانه‌های طلا به صورت آزاد مشاهده نشد.

سپاس‌گزاری

بدین‌وسیله از جناب آقای مهندس هدایتی، مدیر عامل محترم شرکت تحقیقات و کاربرد مواد معدنی ایران و مهندس اقبالی که حمایتهای مادی و معنوی فراوانی را در انجام این پژوهش پذیرا شدند، تشکر و قدردانی می‌شود.

مراجع

- [1] Aghanabati, A., "Geology of Iran", Geol, Surv, Iran, (2003) 123-147.
- [2] Alavi, M., "Tectonic map of the Middle East", Geol, Surv, Iran, (1991).
- [۳] [۳] برنا، ب.، و عشق آبادی، م.، "گزارش ارزیابی و اکتشافی کانسارها و اندیس‌های سرب و روی استان سمنان"، اداره کل معدن و فلزات استان سمنان، (۱۳۷۶) ۲۲۶ صفحه.
- [4] Azizi, H., Jahangiri, A., "Cretaceous subduction- related volcanism in the Northern Sanandaj Sirjan zone, Iran", J.Geodyn 45, (2008) 178-190.
- [۵] هوشمندزاده، ع.، و همکاران، "تحویل پدیده‌های زمین‌شناسی تروود (پرکامبرین تا عهد حاضر)"، انتشارات سازمان زمین‌شناسی و اکتشافات معدنی کشور (۱۳۵۷).
- [6] Le Maiter, R.W., "A classifications of igneous rocks and glossary of terms", Black well scientific publications, (1986) 191 p.
- [7] Cox, K.G., Bell, J. D., Pankhurst, R.J., "The interpretation of igneous rocks", George Allen and Unwin, London, (1979).
- [8] pearce, J.A., "Trace element characteristics of lavas from destructive plate boundaries", In, Thorpe, R.S. Andesites, Wiley, New York, (1982) 525-548.
- [9] Muller, D., Rock, N.M.S. Groves, D.I.,

- [32] White, N. C., Hedenquist, J. W., "Epithermal gold deposits: Styles, Characteristic and exploration", Society of Economic Geology Newsletter, 23 (1995) 9-13.
- [33] Hedenquist, J.W., Arribas R., A. Gonzalez-Urien, E., "Exploration for epithermal gold deposits: Reviews in Economic Geology", 13 (2000) 245-277.
- [34] Hass, J. L., "The effect of salinity on the maximum thermal gradient of a hydrothermal system at hydrostatic pressure", Econ Geol, 66 (1971) 940-946.
- [35] Einaudi, M.T., Hedenquist, J.W. Inan, E.E., "Sulfidation state of fluids in active and extinct hydrothermal systems": Transitions from porphyry to epithermal environments. Soc. Economic Geology Spec. Pub., 10 (2003) 285-313.
- [36] Sillitoe, R.H., Hedenquist, J.W., "Linkages between volcano-tectonic settings, Ore-fluid compositions and epithermal precious metal deposits", Society of Economic Geologists Spec. No., 10 (2003) 315 – 343.
- [37] Gemmell, J.B., "Low, and intermediate-sulfidation epithermal deposits", ARC-AMIRAP, Australia, (2004) 57– 63.
- [38] Seward, T.M., Barnes, H.L. "Metal transport by hydrothermal ore fluids", in Barnes, H.L., ed., Geochemistry of hydrothermal ore deposits, New York, John Wiley and Sons, (1997) 435–486.
- [39] Palyanaova, G., "Physicochemistry modeling of the coupled behavior of gold and silver in hydrothermal processes, gold fineness, Au/Ag ratios and their possible implications", Chemical Geology, 255 (2008) 399-413.
- [40] Benning, L.G., Seward, T.M. "Hydrosulfide complexing of Au in hydrothermal solutions from 150 to 400 °C and 500 to 1500 bars", Geochimica et Cosmochimica Acta, 60 (1996) 1849–1871.
- [41] Giggenbach, W.F., "The origin and evolution of fluids in magmatic-hydrothermal systems", in Barnes, H.L., Geochemistry of hydrothermal ore deposits, 3rd ed.; New York, Wiley Interscience, (1997) 737-796.
- [42] Corbett, G., "Controls to low sulphidation epithermal Au/Ag mineralization", NSW Australia (2002). [43] Hedenquist, J. W., Lowenstern, J. B., "The role of magmas in the formation of hydrothermal ore deposits", Nature, 370 (1994) 519-527
- [20] Shepherd, T.J., Rankin, A.H., Alderton, D.H.M., "A practical guides to fluid inclusion studies", Blackie press, (1985) 239 p.
- [21] Roedder, E., "Fluid inclusions: Reviews in Mineralogy", 12 (1984) 644 p.
- [22] Bodnar, R.J., "Revised equation and table for determining the freezing point depression of $H_2O-NaCl$ solutions", Geochimica et Cosmochimica Acta, 57 (1993) 683–684.
- [23] Hall, D.I. and Bodnar, R.J., "Freezing point depression of NaCl - KCl - H_2O ", Econ, Geol., 65 (1988) p123.
- [24] Camprubi, A., Chomiak, B.A., Canals, A., Norman, D.I., "Fluid sources for the La Guitarra epithermal deposit (Temascaltepec district, Mexico): Volatile and helium isotope analyses in fluid inclusions", Chemical Geology, 231 (2006) 252-284.
- [25] Wilkinson, J.J. "Fluid Inclusion in hydrothermal ore deposit", Lithos, 55 (2001) 229-272.
- [26] Brathwaite, R.L., Faure, K., "The Waihi epithermal gold-silver-basemetal sulfide-quartz vein system, New Zealand: temperature and salinity controls on electrum and sulfide deposition", Econ. Geol, 97 (2002) 269-290.
- [27] Simmons, S.F., Gemmell, B. Sawkins, F.J., "The Santo Nino silver-lead-zinc vein, Fresnillo district, Zacatecas", Mexico: Part II. Physical and chemical nature of ore-forming solutions: Economic Geology, 83 (1988) 1619-1641.
- [28] Simmons, S.F. "Hydrothermal implications of alteration and fluid inclusion studies in the Fresnillo district", Mexico: Evidence for a brine reservoir and a descending water table during the formation of hydrothermal Ag-Pb-Zn ore bodies: Economic Geology, 86 (1991) 1579-1601.
- [29] Albinson, T., Norman, D.I. Cole, D. and Chomiak, B., "Controls on formation of low-sulfidation epithermal deposits in Mexico": Constrains from fluid inclusion and stable isotope data: Society of Economic Geologists, Sp. Publ. 8 (2001) 1-32.
- [30] Henley, R. W., "The geological framework of epithermal deposits, In Berger. P.M (Ed), Geology and geochemistry of epithermal system", Soc Econ. Geol, (1986) p 1-24.
- [31] White, D. E., "Diverse origins of hydrothermal ore fluids", Econ. Geol. 69 (1974) 954-973.